

文章编号: 1005-0523(2004)04-0110-03

辙叉反弯矫直理论研究

陈慧¹, 熊国良²

(华东交通大学 1. 机电工程学院; 2. 教务处, 江西 南昌 330013)

摘要: 运用弹塑性力学的基础理论, 分析了辙叉压点式反弯矫直的基本原理. 给出了实用的确定矫直压下量参数的方法, 从而为实际矫直工作提供了理论指导. 文章最后运用该方法对某辙叉实例进行了计算.

关键词: 矫直; 弹塑性; 压下量; MATLAB 语言

中图分类号: TH123.1

文献标识码: A

0 前言

辙叉是铁路道岔设备中的一个关键零件, 为保证列车通过道岔时的平稳性, 当辙叉弯曲变形达到一定程度时须对其进行矫直. 现场采用三点式压力矫直的工艺. 国内目前对辙叉压力矫直还缺乏较系统的理论研究, 实际中是凭操作者的经验来调整各控制参量的大小, 严重制约了矫直精度和生产效率的提高.

1 辙叉矫直的原理

通过大量调查发现, 辙叉的初始弯曲形式是有规律的: 其弯曲集中发生在长度中点附近数百毫米的小范围内, 此范围内辙叉截面的形状一致且其尺寸变化很小, 在简化分析中可以忽略. 其截面左右对称, 截面右半部分形状如图1的右边部分. 综上所述, 辙叉压力矫直的问题可作为简支梁受横向集中载荷作用的

情况, 图2为其矫直示意图.

辙叉矫直过程中的变形既有弹性变形又有塑性变形, 应运用弹塑性理论对其进行分析. 首先作如下假设: 1) 材料是均匀、连续且各向同性的, 为理想弹塑性材料; 2) 零件的弯曲符合伯努力平面假说; 3) 卸载满足简单卸载定理, 即符合线性规律. 辙叉弹塑性弯曲后必然有一部分变形得到恢复, 另一部分则残留下来, 如图2, δ_0 为初始变形, δ_w 为反弯变形, δ_s 为矫直压下量, 只有当反弯变形等于弹复变形时零件卸载后才会变直. 从图中可见, 辙叉的矫直必须确定压点位置、支点位置和压下量三个参数.

由简支梁受压的力学分析可知, 梁最大变形将发生在其长度中点附近; 在相同压力作用下支点距离越大则压点弯矩越大, 增大支点距离有利于充分发挥矫直机能力. 因而压点应尽量作用于初始变形量最大的点处, 两支点距离宜尽量增大, 在压点和支点位置确定后, 以下主要分析矫直压下量的确定.

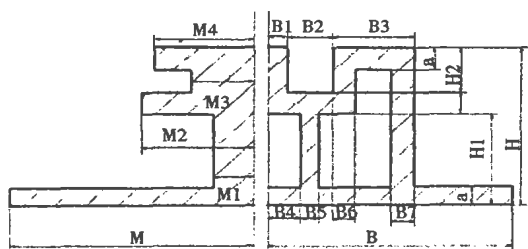


图1 辙叉截面形状

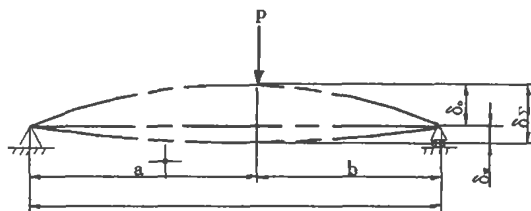


图2 矫直示意图

收稿日期: 2003-07-01

作者简介: 陈慧 <https://www.cnki.net> 讲师.

2 辙叉矫直压下量的确定

2.1 应力、应变及曲率关系

矫直过程各种曲率关系如图3,图中各符号的含意: A_0 为原始曲率; A_ω 为反弯曲率; A_c 为残留曲率; A_f 为弹复曲率; A_s 为塑性弯曲曲率; A_Σ 为总弯曲率,规定各曲率凹者为“+”,凸者为“-”.引入弹

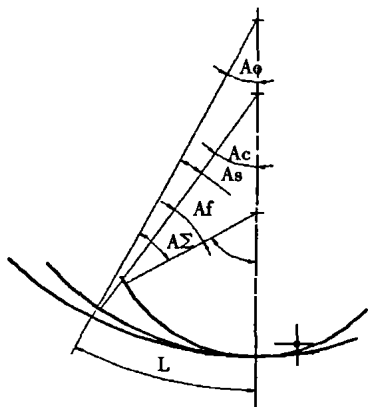


图3 曲率变化关系

图4为弯曲的应力应变模型,各层纤维变形的大小与该层至中性层的距离成正比,图中 H_t 为弹性区深度、 ϵ_s 为距中性层深度 Z 处的应变,则有:

$$C_\Sigma = A_\Sigma / A_t = H / H_t \quad (2)$$

2.2 矫直挠度

其中 δ_0 可以测知,须计算的是反弯挠度 δ_ω ,由于辙叉矫直的变形量小,一般 $C_c \leq 1$ (即残留曲率 $A_c \leq A_t$),其残留挠度及弹复挠度均可按弹性原则进行计算,设 δ_t 为弹性极限挠度,则反弯挠度为:

$$\delta_\omega = \delta_f + \delta_c = \delta_t + \delta_t(C_\omega - C_f) = \delta_t C_\omega \quad (3)$$

对于图2,由材料力学可知弹性极限挠度的计算式为: $\delta_t = Pa^2b^2/3EIL = abM_t/3EI$,故反弯挠度的计算式为:

$$\delta_\omega = \delta_t C_\omega = abM_t C_\omega / 3EI \quad (4)$$

式中 E 为工件的弹性模量, I 为其截面的惯性矩, M_t 为截面弹性极限弯矩, L 为两支脚间的距离.可见矫直压下量计算的关键在于求得反弯曲率比 C_ω .

2.3 反弯曲率比的计算

反弯曲率比可从弯矩计算入手.如图1,辙叉截面是非对称的异型截面,其弹塑性弯曲有多种不同状态,当产生塑性弯曲时中性层位置将随内力平衡关系而改变,因而其弯矩计算不同于矩形、圆形等

性极限曲率 A_t (相当于工件表层纤维达到弹性极限变形时的曲率值, $A_t = 2\epsilon_t/H$),定义各曲率对 A_t 的比值为相应的曲率比,用带下标的字母 C 表示,各曲率比之间的关系如下: $C_\Sigma = C_0 + C_\omega$; $C_s = C_0 + C_c$; $C_f = C_\omega - C_c$.根据矫直的需要,使 $C_c = 0$ 工件即得到矫直,因而须使:

$$C_f = C_\omega \quad (1)$$

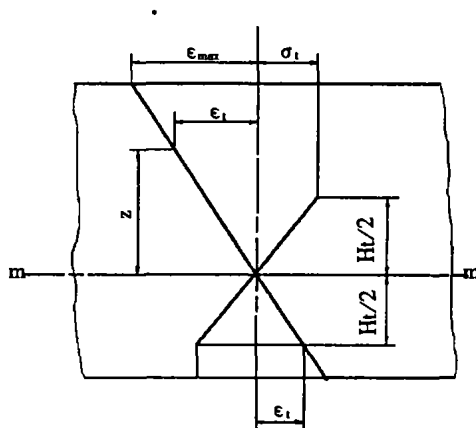


图4 应力与应变关系

简单对称截面,要比简单对称截面复杂得多,本文将将其弯矩计算过程总结如下:

I) 按面积相等原则将辙叉截面等效为图1左边部分的形式.

II) 计算各种弹性参数,包括纯弹性弯曲中性层高度 y_0 、弹性断面模数 Z_t 、弹性极限弯矩 M_t 及截面惯性矩 I_t ,其中距中性层距离 h 处的应力为: $\sigma = h\sigma_t/(H-y)$,式中 σ_t 为弹性极限应力.

III) 分析各种可能的弹塑性弯曲状态(如图5),再按截面应力和等于零的条件筛选出合理的几种弯曲状态,对每种状态计算其弯曲中性层高度 y ,计算相应的弯矩 M ,进而计算弯矩比 \bar{M} :

$$\bar{M} = f(H_t) = \Psi(C_\Sigma) \quad (5)$$

把前面相关公式代入上式,可得一仅含 C_0 、 C_ω 两变量的高次非线性方程:

$$C_\omega = \Psi(C_\omega + C_0) \quad (6)$$

IV) 运用式(6)解出与各种 C_0 值对应的 C_ω 值,要注意结合每种情况下 H_t 应满足的条件去除不合理的解;作出 $C_\omega - C_0$ 曲线以方便实际运用,根据测得的 C_0 值由该曲线查得 C_ω 值后代入公式(4)求得反弯挠度 δ_ω ,最终求得矫直所需的压下量.本文通过运用具有强大矩阵处理、符号运算和绘图功能的MATLAB语言编程来完成 C_ω 值的计算及绘制 $C_\omega - C_0$ 曲线.

下面通过一个实例来进行进一步说明上述过程.

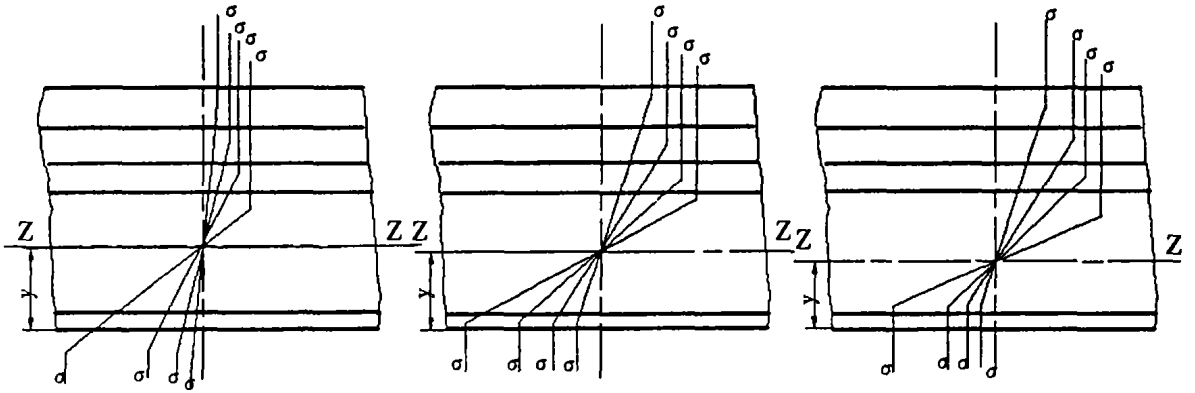


图5 辙叉弯曲变形状态

2.4 实例分析

对应于图1,某辙叉截面尺寸如下: $m=240$; $m_1=40$; $m_2=89$; $m_3=44$; $m_4=80$; $H=172$; $H_1=100$; $H_2=50$; $s=25$; $t=22$; $d=20$; 本例长度单位均为mm.

解: I) 计算 y_0 :

$$y_0 = \frac{\sum_{i=1}^5 A_i y_i}{\sum_{i=1}^5 A_i} = \frac{\left\{ \frac{md^2}{2} + \frac{m_1(H_1^2 - d^2)}{2} + m_2 t(H_1 + \frac{t}{2}) + m_3(H_2 - s) \right\}}{\left[\frac{H_1^2 - s}{2} + H_1 + t \right] + m_4 s(H - \frac{s}{2})} \approx 70.78$$

计算 Z_t :

$$Z_t = M_t / \sigma_t = \frac{2}{H - y_0} \left\{ \int_{y_0-d}^{y_0} m_1 h^2 dh + \int_{y_0-d}^{y_0} m_2 h^2 dh + \int_{y_0-d}^{y_0} m_1 h^2 dh + \int_{H_1-y_0}^{H_1-y_0+t} m_2 h^2 dh + \int_{H_1-y_0+t}^{H_1-y_0+t} m_3 h^2 dh + \int_{H_1-y_0+t}^{H_1-y_0+t} m_4 h^2 dh \right\} \approx 861.238$$

计算 I_z :

$$I_z = \int_A h^2 dA = 2 \left\{ \int_{y_0-d}^{y_0} m_1 h^2 dh + \int_{y_0-d}^{y_0} m_2 h^2 dh + \int_{y_0-d}^{y_0} m_1 h^2 dh + \int_{H_1-y_0}^{H_1-y_0+t} m_2 h^2 dh + \int_{H_1-y_0+t}^{H_1-y_0+t} m_3 h^2 dh + \int_{H_1-y_0+t}^{H_1-y_0+t} m_4 h^2 dh \right\} \approx 87445907.76$$

II) 以图6所示弯曲状态为例, 计算其弯曲中性层高度 y , 进而计算弯矩比 \bar{M} .

1) 计算中性层高度 y

联立求解以下三式:

$$0 < H_t/2 \leq y - d \tag{7}$$

$$0 < H_t/2 \leq H_1 - d \tag{8}$$

$$\int_{H_t/2}^{H_t/2} m_1 dh + \int_{y-d}^{y-d} m_2 dh = \int_{H_t/2}^{H_t/2} m_1 dh +$$

$$\int_{H_t/2}^{H_t/2} m_2 dh + \int_{H_t/2}^{H_t/2} m_3 dh + \int_{H_t/2}^{H_t/2} m_4 dh \tag{9}$$

$$\text{得: } y = 63.225 \tag{10}$$

$$0 < H_t/2 \leq 36.775, \text{ 即 } C_\Sigma \geq 2.3385 \tag{11}$$

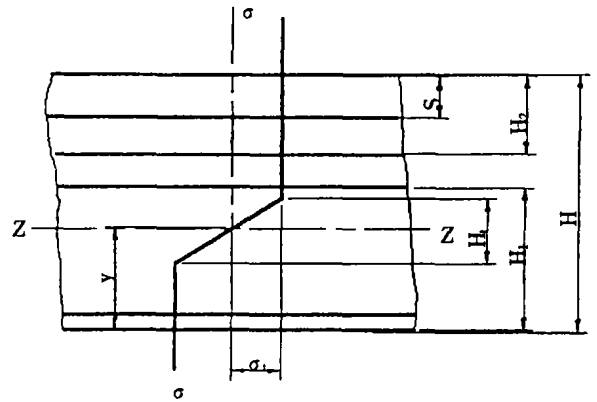


图6 一种弹性弯曲状态

2) 求弯矩比

$$\bar{M} = M / M_t = M / Z_t \sigma_t = 2 \sigma_t \left\{ \int_{H_t/2}^{H_t/2} 4 \frac{M_1 h^2}{H_t} dh + \int_{H_t/2}^{H_t/2} m_1 h dh + \int_{y-d}^{y-d} m_2 h dh + \int_{H_t/2}^{H_t/2} m_1 h dh + \int_{H_1-H_t/2}^{H_1-H_t/2} m_2 h dh + \int_{H_1-H_t/2}^{H_1-H_t/2} m_3 h dh + \int_{H_1-H_t/2}^{H_1-H_t/2} m_4 h dh \right\} \tag{12}$$

$$C_\omega = \bar{M} \tag{13}$$

$$C_\Sigma = C_0 + C_\omega \tag{14}$$

$$\text{由式(3)(12)(14)(15)得: } C_\omega = 1.58932 - 0.229 / (C_0 + C_\omega)^2 \tag{15}$$

$$\text{又 } C_\Sigma \geq 2.3385 \tag{16}$$

本例计算完所得 $C_\omega - C_0$ 曲线如图7. 实际运用中根据测得的 C_0 值由该曲线查得 C_ω 值后, 最终矫直所需的压下量 δ_Σ 可由下式求得:

$$\delta_\Sigma = \delta_0 + \delta_w = \delta_0 + abM_t C_\omega / 3EI \tag{17}$$

- [2] Harary F, Nash-Williams C St J A. On spanning and dominating circuit in graphs, *Can Math Bull*, 1977, 20, 215-220.
- [3] Bondy J. A. Pancyclic graph, pro second Louisiana conference on combinatorics, graph theory and computing (Mullin R. C. et al.,

- eds.), *congresses Numerantium* 3(1971)181-187.
- [4] Xiong, L. Edge degree conditions for subpancyclicity in line graphs, *Discrete Math*, 188(1998)225-232.

Degree Sums of Two Independent Vertics Condition for Subpancyclicity in line Graphs

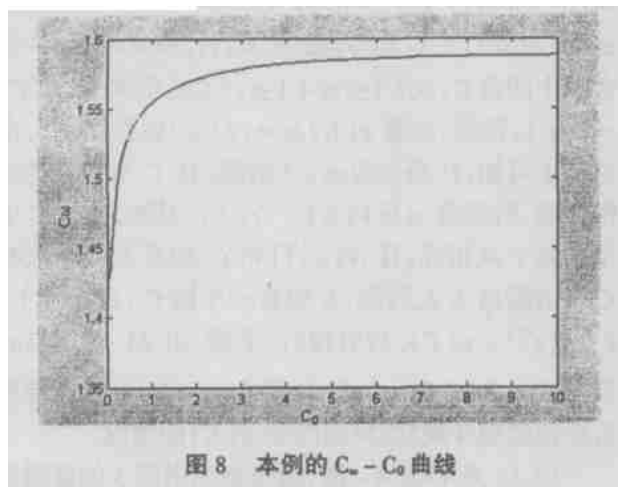
HU Ming-ying, LIU zhan-hong

(Institute of Mathematication and Informatics, Jiangxi Normal University, Nanchang 33027, China)

Abstract: Given a graph which satisfies condition of . We have the following two main results. If and, is subpancyclicity. If and, is subpancyclicity.

Key words: line graph; pancyclic graph; subpancyclic graph

(上接第 112 页)



3 结束语

本文基于弹塑性力学基本理论,提出了实用的辙叉矫直压下量确定方法,该方法既为辙叉矫直工作提供了理论指导和计算依据,也对研究其它复杂金属工件的矫直提供了有意义的参考。

参考文献:

- [1] 崔 甫. 矫直原理与矫直机械[M]. 北京:冶金工业出版社, 2002.
- [2] 朱伯馥. 弹塑性力学[M]. 北京:科学出版社, 1990.

Study on Op-bending Straightening Theory of Crossing

CHEN Hui, XIONG Guo-liang

(1. School of Mechanical and Electrical Information; 2. Educational Administration, East China Jiaotong Uni., Nanchang 330013, China)

Abstract: The paper analyzes the basic principles of crossing's op-bending straightening by using the basic theory of elastic-plastic mechanics. A practical computation method for the stroke of pressing down is derived, which can be used to direct the straightening operation. At the end of this paper, a calculating example is put forward.

Key words: straightening; elasticity & plasticity; stroke of pressing down; MATLAB language